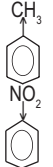
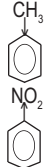
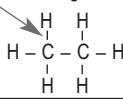
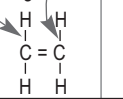
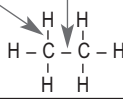
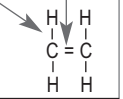
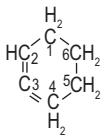
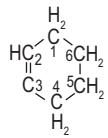

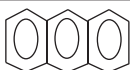
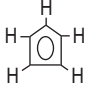
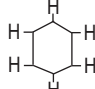
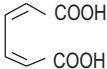
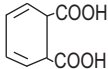
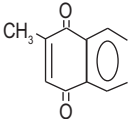
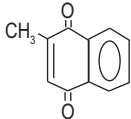
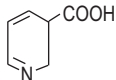
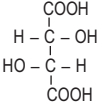
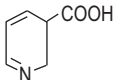
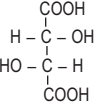


Volume 1 - GENERALE E INORGANICA

| Pagina | Collocazione | Errata | Corrige |
|--------|--|--|--|
| 5 | Nella struttura del corso in basso a sinistra | Simbolo e identificazione di <i>Enunciati</i> e <i>Approfondimenti</i> | I due simboli vanno scambiati con le relative definizioni: E = enunciati; A = approfondimenti |
| 33 | In laboratorio – Misura dei volumi, penultimo e ultimo rigo | ... è indicata la scritta 1/20 ... si può effettuare è di 1 ml. | ... è indicata la scritta 20 : 1/10 ... si può effettuare è di 0,1 ml. |
| 46 | In basso al 2° rigo dell' <i>Approfondimento</i> | $H \cdot \Sigma$ | $H \cdot$ |
| 47 | Figura 2.11 acido solforico | $\begin{array}{c} \text{O} \\ \\ \text{H} - \text{O} - \text{S} - \text{O} - \text{H} \\ \\ \text{O} \end{array}$ | $\begin{array}{c} \text{O} \\ \\ \text{H} - \text{O} - \text{S} - \text{O} - \text{H} \\ \\ \text{O} \end{array}$ |
| 49 | Paragrafo 2.6 al 4° rigo | ... e una solida costituita dal soluto. | ... e una costituita dal soluto. |
| 58 | In alto al quartultimo rigo dell'approfondimento | $L = \text{lunghezza d'onda} - 2\pi r = n\lambda$ | $\lambda = \text{lunghezza d'onda} - 2\pi r = n\lambda$ |
| 63 | Figura 3.16 Configurazione elettronica del litio | Errato Il livello orbitale identificato come $2s^2$ | Corretto $2s^1$ |
| 92 | Al centro penultimo e ultimo rigo di testo prima del paragrafo 6.3 | Errati i simboli (θ^-) e (θ^+) | Corretti i simboli delta (δ^-) e (δ^+) |
| 94 | Identificazione elettroniche del quinto gruppo | $\cdot\ddot{\text{N}}\cdot \quad \cdot\ddot{\text{P}}\cdot$ | $\cdot\ddot{\text{N}}\cdot \quad \cdot\ddot{\text{P}}\cdot$ |
| 94 | Identificazione elettroniche del sesto gruppo | $\cdot\ddot{\text{O}}\cdot \quad \cdot\ddot{\text{S}}\cdot$ | $\cdot\ddot{\text{O}}\cdot \quad \cdot\ddot{\text{S}}\cdot$ |
| 94 | Identificazione elettroniche dell'ottavo gruppo | $\cdot\ddot{\text{N}}\text{e}\cdot \quad \cdot\ddot{\text{A}}\text{r}\cdot$ | $\cdot\ddot{\text{N}}\text{e}\cdot \quad \cdot\ddot{\text{A}}\text{r}\cdot$ |
| 102 | Al sestultimo rigo dell' <i>Approfondimento</i> | Numero di ossidazione dell'idrogeno +1 x 2 | Numero di ossidazione dell'idrogeno +1 x 1 |
| 106 | Al penultimo rigo | lone bicarbonato NC O_3^{-1} | lone bicarbonato HCO_3^{-1} |
| 110 | In <i>Test - Verifiche ed esercizi</i> al punto 6 delle <i>Domande a risposta multipla</i> | 6) Gli ossiacidi si ottengono dalla sintesi diretta dell'idrogeno con | 6) Gli ossiacidi si ottengono dalla sintesi diretta di un'anidride con |
| 120 | In Figura 9.2 sull'asse delle ascisse | Il punto A non è ben posizionato | Spostare il punto A sulla destra in corrispondenza dell'inizio fusione e fine solidificazione |
| 121 | Al sesto e settimo rigo | Il punto E rappresenta ... il punto C quella | Il punto D rappresenta ... il punto B quella |
| 121 | In Figura 9.3 | Sull'asse delle ascisse mancano le lettere in corrispondenza delle verticali tratteggiate e della coordinata, la lettera A è mal posizionata | Inserire le lettere in sequenza da sinistra a destra: E in corrispondenza del vertice ascissa-coordinata e a seguire, D, C, B, riposizionare a sinistra la A |
| 123 | Al penultimo e ultimo rigo la frase considerata diventa | Sono sostanze polari e come tali solubili in acqua oltre che buoni conduttori. | Sono sostanze polari e come tali solubili in acqua, formano soluzioni che sono buone conduttrici di corrente. |
| 135 | In alto alla seconda formula dell' <i>Approfondimento</i> | $= \frac{15 \text{ (g)}}{\text{concentrazione } 75 \text{ (ml)}} \cdot 100 = 20$ | $\text{concentrazione} = \frac{15 \text{ (g)}}{75 \text{ (ml)}} \cdot 100 = 20$ |
| 136 | Nell' <i>Approfondimento</i> in sequenza al peso equivalente | Il valore $x = 2,71 \text{ N}$ è in realtà Il valore $0,151$ è in realtà | $x = 2,72 \text{ N}$ $0,150$ |
| 136 | Nell' <i>Approfondimento</i> in sequenza alla molalità | La sigla PM NaOH = 40 u.m.a. | pm NaOH = 40 u.m.a. |
| 137 | Nell' <i>Approfondimento</i> in sequenza alla molalità | La sigla PM ... | pm ... |
| 137 | Nell' <i>Approfondimento</i> nella penultima formula al denominatore | Il valore $16,6 + 0,3$ | $16,6 + 0,5$ |
| 159 | Al secondo rigo della Tabella 12.1 | HBrO ac. ipobromoso | HBrO ac. ipobromoso |
| 161 | In basso al secondo rigo dell'ultimo riquadro | $\text{H}_2\text{S} \rightleftharpoons 2 \text{H}^+ + \text{S}^-$ | $\text{H}_2\text{S} \rightleftharpoons 2 \text{H}^+ + \text{S}^{--}$ |
| 162 | In alto in tabella: colonna Base coniugata | S^- | S^{--} |
| 181 | In basso nell'ultimo riquadro a destra | Il simbolo S^- | S^{--} |
| 197 | Nella prima formula (15.4) | Il valore ad esponente 149 | 14 |

Volume 2 - CHIMICA DEL CARBONIO

| Pagina | Collocazione | Errata | Corrige |
|--------|---|--|--|
| 14 | In Fig. 18.1 a destra | Nelle tre caselle di destra (orbitali $2p_x$ $2p_y$ $2p_z$) mancano le frecce verticali \uparrow di identificazione dell'elettrone nell'orbitale | inserire le frecce verticali di identificazione di elettrone nell'orbitale nelle tre caselle di destra (orbitali $2p_x$ $2p_y$ $2p_z$) |
| 15 | In didascalia di Fig. 18.3 a destra, penultimo rigo | ... come i 4 atomi di C ... | ... come i 2 atomi di C ... |
| 15 | Nella Tabella 18.1, in seconda riga e ultima colonna, etano | CH_3CH | CH_3CH_3 |
| 19 | In alto nel riquadro di identificazione dell'effetto induttivo [+I] [-I] |  <p>La freccia \uparrow significa che il metile ha effetto induttivo [+I] La freccia \downarrow significa che l'$-\text{NO}_2$ ha effetto induttivo [-I]</p> |  <p>La freccia \downarrow significa che il metile ha effetto induttivo [+I] La freccia \uparrow significa che l'$-\text{NO}_2$ ha effetto induttivo [-I]</p> |
| 20 | Nel secondo riquadro dall'alto e a destra: esempi di altri carboanioni | $\overset{\ominus}{\text{C}}\text{H}_3$: | $\overset{\ominus}{\text{C}}\text{H}_3$: ibrido s p |
| 25 | In basso, terzo rigo della 3 ^a reazione | ... a turno Cl_2 ... | ... a turno Cl^+ ... |
| 25 | In basso, secondo rigo della 4 ^a reazione | ... Gli atomi di C sono ... | ... Gli atomi di Cl sono ... |
| 28 | In alto nel riquadro centrale | <p>legame σ legame σ legame σ legame σ</p>   | <p>legame σ legame σ legame σ legame σ</p>   |
| 31 | In alto nella prima reazione e formule dopo il riquadro | $\rightarrow \text{CH}_3 - \text{CH}_2 - \text{CH}_2 - \text{CH}_2\text{OH}$ alcol (butanolo) | $\rightarrow \text{CH}_3 - \text{CH}_2 - \overset{\text{OH}}{\text{CH}} - \text{CH}_3$ alcol 2-butanolo |
| 32 | In alto nel secondo riquadro |  <p>2,3-cicloesadiene</p> |  <p>2-cicloesene</p> |
| 36 | Nel riquadro nella formula del benzile | $\text{C}_6\text{H}_5 - \text{CH}_2$ | $\text{C}_6\text{H}_5 - \text{CH}_2^-$ |
| 36 | Quarto riquadro dall'alto: formula dell'antrace-ne |  |  |
| 37 | Prima formula a sinistra nell' <i>Approfondimento</i> |  |  |
| 39 | Al primo rigo dopo il primo riquadro dall'alto | ... esempio il butilidrossitoluene ... | esempio il terz-butilidrossitoluene ... |
| 39 | Nella formula del secondo riquadro | $(\text{CH}_2)_3\text{C}$ - butilidrossitoluene | $(\text{CH}_2)_3\text{C}$ - terz-butilidrossitoluene |
| 40 | Formule finali di reazioni di sostituzioni elettrofile | $\text{R} \cdot + \text{Cl}$ ripetuto 2 volte | $\text{R} - \text{Cl}$ ripetuto 2 volte |
| 41 | Formula terzo riquadro | $-\overset{\ominus}{\text{C}}^+ + :\text{Nu} \longrightarrow \text{Nu}-\overset{\ominus}{\text{C}}^+$ | $-\overset{\ominus}{\text{C}} + :\text{Nu}^- \longrightarrow \text{Nu}-\overset{\ominus}{\text{C}}^-$ |
| 42 | Primo riquadro in alto, fomula a destra (fenolo) | + KCl | + KBr |
| 50 | Riquadro: La nomenclatura JUPAC degli alcoli, formula 5,5-dimetil-3-esanolo | $\text{CH}_3 - \overset{\text{CH}_3}{\underset{\text{CH}_3}{\text{C}}} - \text{CH}_2 - \overset{\text{H}}{\text{CH}} - \text{CH}_2 - \text{CH}_3$ | $\text{CH}_3 - \overset{\text{CH}_3}{\underset{\text{CH}_3}{\text{C}}} - \text{CH}_2 - \overset{\text{OH}}{\text{CH}} - \text{CH}_2 - \text{CH}_3$ |
| 53 | Ultimo riquadro in basso | alcol isoamilico | alcol amilico |
| 57 | 3° riquadro paragrafo Preparazione degli eteri | etere metilietilico | etere metiletilico |
| 57 | 3° rigo paragrafo Preparazione degli eteri | - il metilico ... | - il metiletilico ... |
| 62 | 2° riquadro dall'alto: il prodotto della reazione acetale (a destra) | $\text{O} - \overset{\text{C}}{\text{C}} - \text{CH}_2$ acetale | $\text{H} - \overset{\text{O}}{\text{C}} - \overset{\text{C}}{\text{C}} - \text{CH}_2 - \text{CH}_2 - \text{CH}_3$ acetale |
| 62 | Nel 1° riquadro del paragrafo 23.2 | $\text{H} - \overset{\delta^+}{\text{C}} - \text{H}$ | $\text{H} - \overset{\delta^+}{\text{C}} - \text{H}$ |
| 64 | Ottavo rigo dall'alto | dell'aldeide | dell'alcol |
| 65 | Formula del terzo riquadro (bisolfito di potassio) | + KHSO_4 | + KHSO_3 |
| 67 | In sintesi concettuale di apertura Unità | $\text{R}-\overset{\text{O}}{\text{C}} = \text{O}$ (carbossile) | $\text{R}-\overset{\text{O}}{\text{C}} = \text{O}$ (carbossile) |

| Pagina | Collocazione | Errata | Corrige |
|--------|---|--|---|
| 68 | Parte centrale: 2°, 4° e 6° rigo della dizione di Acile | $R - C = CO - \quad CH_3 - C_{\alpha} = O$ $CH_3 - \underset{\text{A}}{\underset{ }{C}} - S - Co - A$ | $R - C = O \quad CH_3 - C_{\alpha} = O$ $CH_3 - \underset{O}{\underset{ }{C}} - S - Co - A$ |
| 69 | Al secondo rigo | ...è sul C ₂ (o Ca) l'acido ... | ...è sul C2 (o Cα) l'acido ... |
| 89 | In basso nella reazione di ossidazione del D-glucosio | $\begin{array}{ccc} \boxed{CHO} & & \boxed{CH_2OH} \\ & & \\ H - C - OH & \xrightarrow{H_2} & H - C - OH \\ & & \\ HO - C - H & \text{riduzione} & HO - C - H \\ & & \\ H - C - OH & & H - C - OH \\ & & \\ H - C - OH & & H - C - OH \\ & & \\ COOH & & COOH \end{array}$ | $\begin{array}{ccc} \boxed{CHO} & & \boxed{COOH} \\ & & \\ H - C - OH & \xrightarrow{Br_2} & H - C - OH \\ & & \\ HO - C - H & \text{ossidazione} & HO - C - H \\ & & \\ H - C - OH & & H - C - OH \\ & & \\ H - C - OH & & H - C - OH \\ & & \\ CH_2OH & & CH_2OH \end{array}$ |
| 90 | Nel secondo riquadro in ossidazione del gruppo aldeidico | $\begin{array}{ccc} & & \boxed{CH_2OH} \\ & & \\ & & H - C - OH \\ & \xrightarrow{H_2} & \\ & \text{riduzione} & HO - C - H \\ & & \\ & & H - C - OH \\ & & \\ & & H - C - OH \\ & & \\ & & COOH \end{array}$ | $\begin{array}{ccc} & & \boxed{COOH} \\ & & \\ & & H - C - OH \\ & \xrightarrow{HNO_3} & \\ & \text{ossidazione} & HO - C - H \\ & & \\ & & H - C - OH \\ & & \\ & & H - C - OH \\ & & \\ & & COOH \end{array}$ |
| 90 | Nel terzo riquadro in Riduzione | $\begin{array}{ccc} \boxed{CHO} & & \boxed{CH_2OH} \\ & & \\ H - C - OH & & H - C - OH \\ & & \\ HO - C - H & & HO - C - H \\ & & \\ H - C - OH & & H - C - OH \\ & & \\ H - C - OH & & H - C - OH \\ & & \\ COOH & & COOH \end{array}$ | $\begin{array}{ccc} \boxed{CHO} & & \boxed{CH_2OH} \\ & & \\ H - C - OH & & H - C - OH \\ & & \\ HO - C - H & & HO - C - H \\ & & \\ H - C - OH & & H - C - OH \\ & & \\ H - C - OH & & H - C - OH \\ & & \\ CH_2OH & & CH_2OH \end{array}$ |
| 93 | Riquadro in alto: Ciclo di Krebs | + FAH ₂ | + FADH ₂ |
| 112 | Ultima formula | $\begin{array}{ccc} H & H & H \\ & & \\ -P-O-P-O-P-O- \\ & & \\ O & O & O \end{array}$ | $\begin{array}{ccc} H & H & H \\ & & \\ -P-O-P-O-P-O- \\ & & \\ O & O & O \end{array}$ |
| 126 | Formula nel secondo riquadro | $\begin{array}{c} COOH \\ \\ CH_2 \\ \\ C - OOH \\ \\ CH \\ \\ COOH \end{array}$ <p>acido aconitico</p> | $\begin{array}{c} COOH \\ \\ CH_2 \\ \\ C - COOH \\ \\ CH \\ \\ COOH \end{array}$ <p>acido cis-aconitico</p> |
| 128 | Nel secondo riquadro: formula dell'acido Cl 1,6-muconico |  |  |
| 131 | Quarto rigo dall'alto | ... chetone | ... chetoacido |
| 131 | Nono rigo | ... il gruppo chetoacido: | ... il gruppo chetonico che chimicamente deriva dai naftochinoni: |
| 131 | Formula del quarto riquadro dall'alto |  |  |
| 131 | Terzultimo rigo dal basso | ... il gruppo chetonico: | ... il gruppo aldeidico: |
| 132 | Rigo dopo il terzo riquadro dall'alto | Nella vitamina PP è presente il gruppo carbossilico. | La vitamina PP nicotinamide è l'ammide dell'acido nicotinico. |
| 132 | Negli ultimi 2 riquadri in basso a sinistra |   |  <p>acido nicotinico (PP)</p>  <p>acido tartarico</p> |
| 133 | Nell'ultimo riquadro di identificazione delle formule di mono e digliceride | $\begin{array}{cc} CH_3OH & CH_3OH \\ & \\ H - C - OH & HC - O - C(=O) - R \\ & \\ H_2C - O - C(=O) - R & H_2C - O - C(=O) - R \end{array}$ | $\begin{array}{cc} CH_2OH & CH_2OH \\ & \\ H - C - OH & HC - O - C(=O) - R \\ & \\ H_2C - O - C(=O) - R & H_2C - O - C(=O) - R \end{array}$ |